Ce document est mis à disposition selon les termes de la licence Creative Commons « Attribution – Partage dans les mêmes conditions 4.0 International ». https://www.immae.eu/cours/

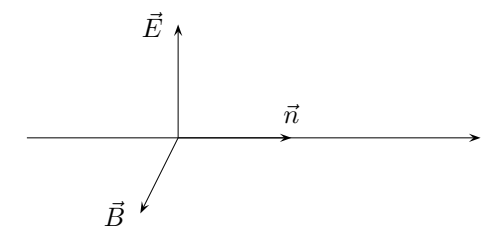


# Optique géométrique

## I Cadre de l'optique géométrique

## A) La lumière, onde électromagnétique

Lumière Transport d'énergie sous forme d'onde électromagnétique dans le vide ou dans un milieu transparent.



 $\vec{B}$ : champ magnétique;  $\vec{E}$ : champ électrique;  $\vec{n}$ : direction de propagation

 $\vec{E}, \vec{B}, \vec{n}$  forment un trièdre triorthogonal direct.

 $\vec{E}$  est une fonction de M et du temps.  $\vec{E}(M,t)$ 

M est repéré par ses coordonnées (x, y, z) donc  $\vec{E}(x, y, z, t)$ .

#### B) Onde plane progressive

Onde plane Les champs  $\vec{E}$  et  $\vec{B}$  sont identiques en tout point d'un plan x= cte (perpendiculaire au plan de propagation), appelé plan d'onde. Dans ce cas,  $\vec{E}$  ne dépend que de x et de t.

#### Onde plane progressive

$$\vec{E}(x,t) = \underbrace{\vec{E}\left(t - \frac{x}{v}\right)}_{\text{OPP} \to} + \underbrace{\vec{E}\left(t + \frac{x}{v}\right)}_{\text{OPP} \leftarrow} \tag{1}$$

À  $t' = t + \Delta t$  en  $x' = x + \Delta x$  (on ne considère que l'onde de gauche à droite) :

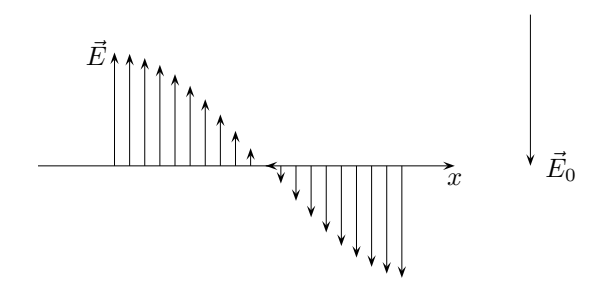
$$\vec{E}(x,t) = \vec{E}(x',t') \iff \vec{E}\left(t - \frac{x}{v}\right) = \vec{E}\left(t' - \frac{x'}{v}\right) \iff t - \frac{x}{v} = t' - \frac{x'}{v} \iff \Delta t = \frac{\Delta x}{v} \iff \Delta x = v \times \Delta t$$
(2)

Donc v est la célérité de l'onde électromagnétique plane progressive.

On suppose OPP $\rightarrow$  polarisé rectilignement (c'est-à-dire direction de  $\vec{E}$  constante)

$$\vec{E}(x,t) = \vec{E}_0 \times f\left(t - \frac{x}{v}\right) \tag{3}$$

À t donné:



## C) Nature spectrale de la lumière

D'après le théorème de Fourier, toute onde plane progressive peut s'écrire comme une superposition d'ondes planes progressives monochromatiques (de gauche à droite, polarisées rectilignement).

$$\vec{E} = \vec{E}_0(\omega) \times \cos(\omega t - kx + \varphi(\omega)) = \vec{E}_0(\omega) \times \cos\left(\omega (t - \frac{k}{\omega}x) + \varphi(\omega)\right)$$

$$= \vec{E}_0(\omega) \times \cos\left(\omega (t - \frac{x}{v}) + \varphi(\omega)\right)$$
(4)

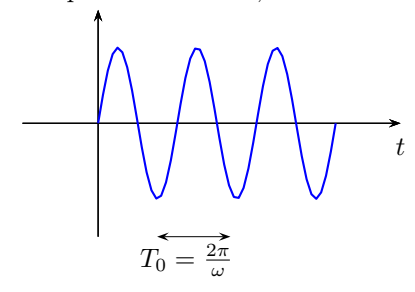
Avec  $v = \frac{\omega}{k}$ 

$$OPP = \Sigma OPPM \tag{5}$$

$$\vec{E}(t - \frac{x}{v}) = \sum_{\omega} \vec{E}_0(\omega) \times \cos(\omega t - kx + \varphi(\omega))$$
 (6)

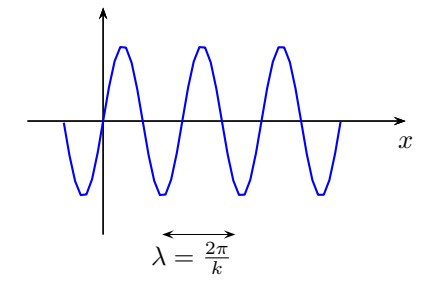
Une OPPM est périodique dans le temps et dans l'espace :

• temporelle : à x fixé, on fait varier t



Fonction périodique de pulsation  $\omega$ , de période  $T=\frac{2\pi}{\omega}$  et de fréquence  $\nu=\frac{1}{T}=\frac{\omega}{2\pi}$ .  $\omega,\nu$  et T sont indépendantes du milieu traversé.

• spatiale : à t fixé, on fait varier x



Fonction périodique de module de vecteur d'onde k, de longueur d'onde  $\lambda=\frac{2\pi}{k}$  et de nombre d'onde  $\sigma=\frac{1}{\lambda}=\frac{k}{2\pi}.$   $k,\sigma,\lambda$  dépendent du milieu traversé

#### Célérité de l'OPPM:

$$v = \frac{\omega}{k} = \frac{2\pi/T}{2\pi/\lambda} = \frac{\lambda}{T} \tag{7}$$

v dépend du milieu dans lequel se trouve l'onde (via  $\lambda$ ).

Dans le vide, la célérité d'une onde lumineuse est égale à une constante (valeur exacte) :

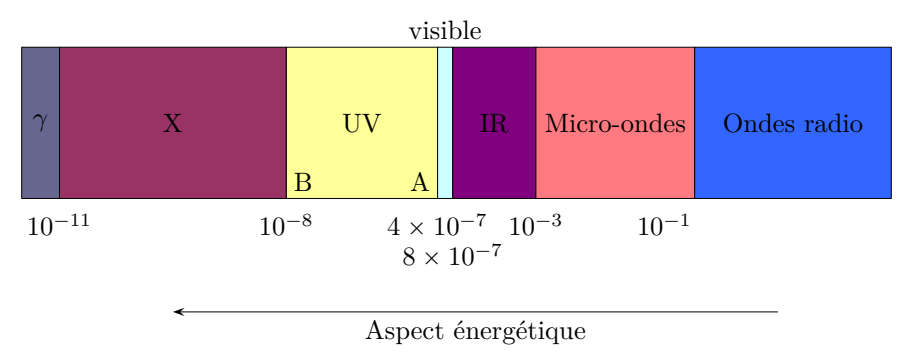
$$c = 299792.458 \,\mathrm{km \, s^{-1}} \approx 3.00 \times 10^5 \,\mathrm{km \, s^{-1}}$$
 (8)

On note  $\lambda_0$  la longueur d'onde dans le vide :

$$\lambda_0 = c \times T \tag{9}$$

L'ensemble des pulsations  $\omega$  ou longueur d'onde dans le vide  $\lambda_0$  est appelé spectre de l'onde lumineuse.

#### Spectre électromagnétique



#### D) Propagation dans un milieu matériel

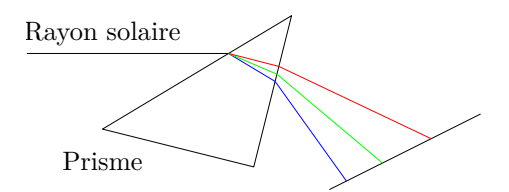
Milieu matériel homogène isotrope (=toutes directions équivalentes) transparent, noté MIHT. Dans un MIHT, l'onde lumineuse se propage dans une direction appelée rayon lumineux :  $\longrightarrow$  On définit un indice optique du MIHT :  $n=\frac{c}{v}$  (c dans le vide, v dans le MIHT). Donc  $n\geqslant 1$ 

#### Exemples

- Air 1.000 29 (dans les CNTP)
- Eau 1.33
- Verre crown 1.52
- Verre Flint 1.67
- Diamant > 2

 $n=\frac{c}{v}=\frac{\lambda_0/T}{\lambda/T}=\frac{\lambda_0}{\lambda}$  ( $\lambda$  dépend du MIHT (n) et de l'onde  $(\lambda_0))$ 

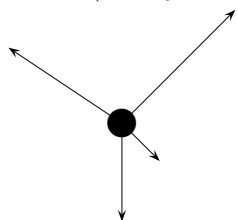
Un milieu est dit dispersif lorsque n dépend de  $\lambda$  :



## E) Approximation de l'optique géométrique

On néglige les phénomènes d'interférence et de diffraction

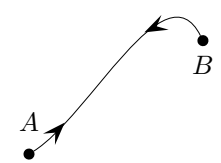
• source (ou objet lumineux ponctuel) :



• Image lumineuse ponctuelle : point de convergence d'un ensemble de rayons lumineux.



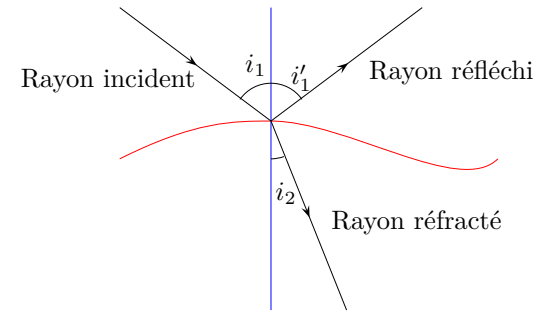
Principe du retour inverse de la lumière (dans un MIHT voire MIT) : un rayon partant de A vers B suivra exactement le même chemin qu'un rayon partant de B vers A.



## II Lois de Snell-Descartes

#### A) Définitions

Dioptre surface qui sépare deux MIHT d'indices différents



Plan d'incidence défini par le rayon incident et la normale

- Une partie du rayon est réfléchie : réflexion
- Une partie du rayon est réfractée : réfraction
- Le milieu 1 est dit moins réfringent que le milieu 2 si  $n_1 < n_2$  et vice versa.
- $i_1$ : angle d'incidence

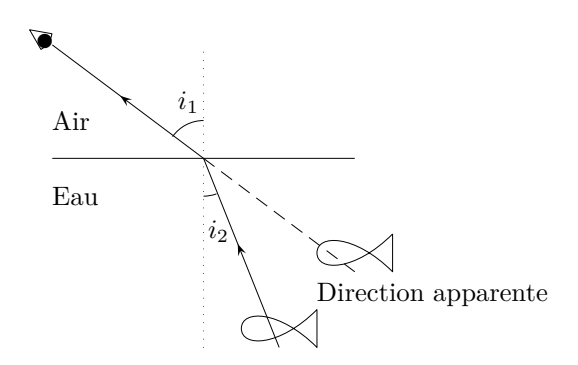
•  $i_2$ : angle de réfraction

•  $i'_1$ : angle de réflexion

## B) Lois de Snell-Descartes

- Les rayons réfléchis et réfractés appartiennent au plan d'incidence.
- $i'_1 = i_1$  (loi de la réflexion)
- $n_1 \sin(i_1) = n_2 \sin(i_2)$  (loi de la réfraction)

#### Exemple:



#### C) Réflexion totale

La proportion d'énergie lumineuse réfléchie et réfractée dépend de  $i_1, n_1, n_2$ .

#### Cas particulier:

$$n_1 \sin(i_1) = n_2 \sin(i_2) \iff \sin(i_2) = \frac{n_1}{n_2} \sin(i_1) \implies \frac{n_1}{n_2} \sin(i_1) \leqslant 1 \iff \sin(i_1) \leqslant \frac{n_2}{n_1}$$
 (10)

 $1^{er}$  cas  $n_2 \geqslant n_1$ 

 $\sin(i_1) \leqslant \frac{n_2}{n_1} \implies$  On a toujours le phénomène de réfraction.

 $2^{\text{ème}}$  cas  $n_2 < n_1$ 

 $\sin(i_1) \leqslant \frac{n_2}{n_1}$  n'est pas toujours vérifié :

$$0 < \frac{n_2}{n_1} < 1 \implies \exists \theta \in ]0; 2\pi[, \frac{n_2}{n_1} = \sin \theta \tag{11}$$

$$0 < \frac{n_2}{n_1} < 1 \implies \exists \theta \in ]0; 2\pi[, \frac{n_2}{n_1} = \sin \theta$$

$$\sin i_1 \leqslant \frac{n_2}{n_1} \iff \sin i_1 \leqslant \sin \theta \iff 0 \leqslant i_1 \leqslant \theta$$

$$(11)$$

#### **Conclusion:**

Si  $0 \le i_1 \le \theta$ , la réfraction est possible

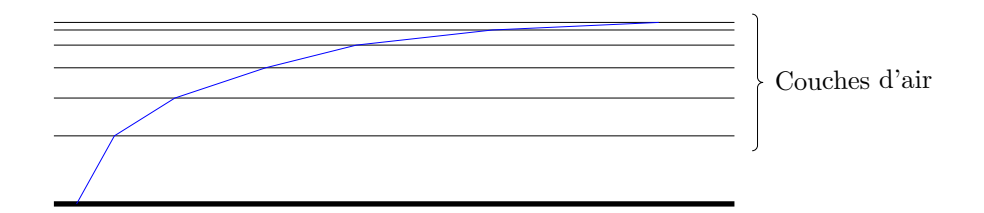
Si  $\theta \leq i_1 \leq \frac{\pi}{2}$ , la réflexion est totale.

#### Application:

Fibres optiques à saut d'indice.

### D) Milieu d'indice variable (principe des mirages)

On néglige la courbure de la Terre.



$$n_0 \sin i_0 = n_1 \sin i_1 \tag{13}$$

$$n_1 \sin i_1 = n_2 \sin i_2 \tag{14}$$

$$\dots n \sin i_n = \text{cte}$$
 (15)

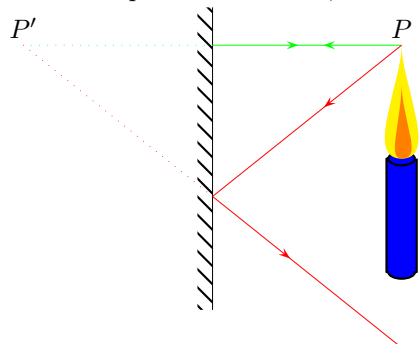
Quand z est faible, la température diminue en se rapprochant du sol.

Donc  $\rho(z) = \frac{k \times T(z)}{P} \implies \rho(z)$  est croissante donc n(z) croît (donc i(z) décroît).

## III Miroir plan

## A) Construction des rayons réfléchis par un miroir plan

Surface métallique réfléchissante ; défauts de dimension inférieure à  $\lambda$ .



Le prolongement des rayons réfléchis converge en P', symétrique de P par rapport au plan du miroir. P' est l'image de P par réflexion sur le miroir plan. C'est une image virtuelle.

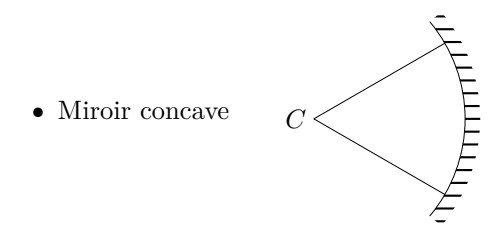
### B) Stigmatisme rigoureux du miroir plan

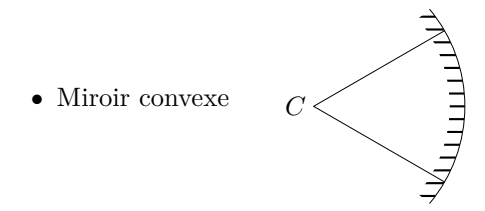
Le miroir plan est rigoureusement stigmatique : formation d'une image P' quelle que soit la position de P, quelle que soit l'inclinaison des rayons issus de P.

## IV Miroir sphérique

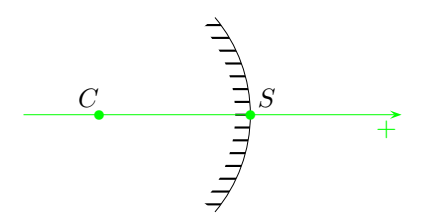
#### A) Définition

Miroir sphérique calotte sphérique recouverte d'un métal réfléchissant.





Axe optique axe de symétrie de la calotte sphérique passant par C, centre de la portion de sphère et S le sommet du miroir.



- $R = \overline{SC} < 0$  pour un miroir concave
- $R = \overline{SC} > 0$  pour un miroir convexe

 ${\cal R}$  est le rayon de courbure

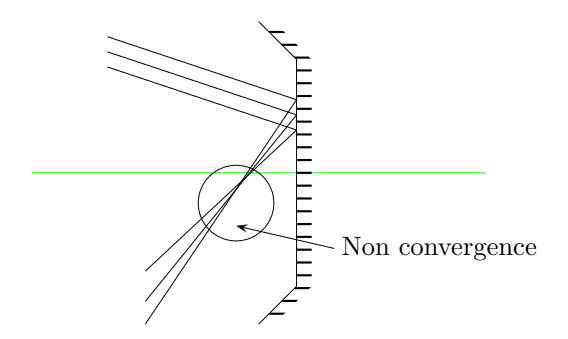
#### **Symboles**



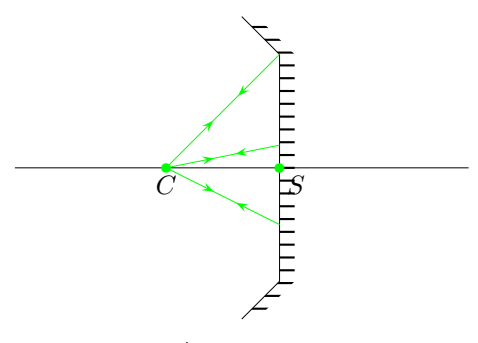
## B) Étude du stigmatisme du miroir sphérique

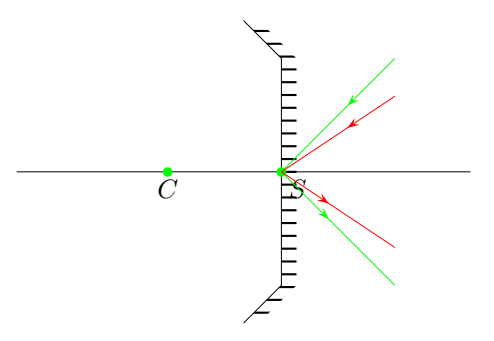
## 1) Cas général

Le miroir sphérique est astigmatique



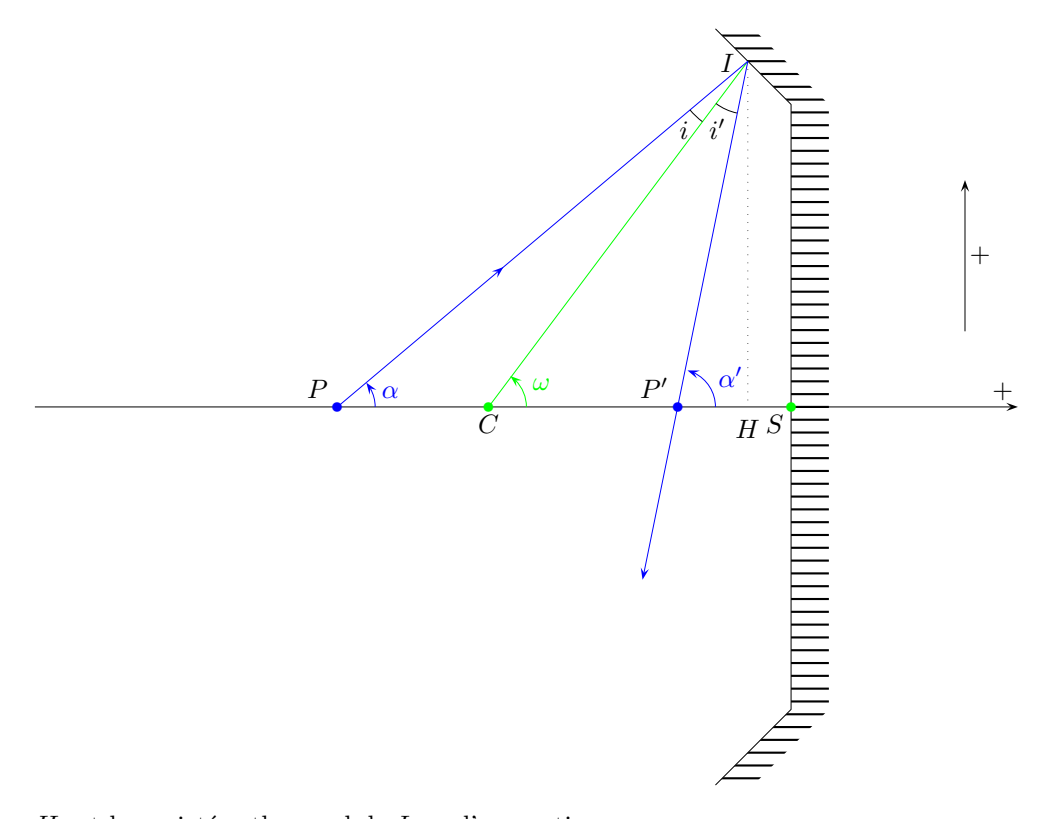
## 2) Stigmatisme au centre et au sommet





 $\begin{array}{c} \text{Au sommet}: \\ \text{Les rayons convergent en } S, \\ \text{image de lui-même par le} \\ \text{miroir sphérique} \end{array}$ 

## 3) Stigmatisme approché sur l'axe optique



 ${\cal H}$  est le projeté orthogonal de  ${\cal I}$  sur l'axe optique

Pour le triangle CPI:

$$\alpha + i + (\pi - \omega) = \pi \tag{16}$$

$$\alpha + i - \omega = 0 \tag{17}$$

Pour le triangle CP'I:

$$\omega + i' + (\pi - \alpha') = \pi \tag{18}$$

$$\omega + i - \alpha' = 0 \tag{19}$$

Donc 
$$\begin{cases} \omega = \alpha + i \\ \omega + i' = \alpha' \end{cases}$$
 soit  $2\omega + i' = \alpha + \alpha' + i$ 

D'après la loi de Snell-Descartes, i = i'

Donc  $2\omega = \alpha + \alpha'$ 

$$\tan \alpha = \frac{\overline{HI}}{\overline{PH}}$$

$$\tan \alpha' = \frac{\overline{HI}}{\overline{P'H}}$$

$$\tan \omega = \frac{\overline{HI}}{\overline{CH}}$$
(20)

Pour des rayons peu inclinés par rapport à l'axe optique (c'est-à-dire  $\alpha, \alpha', \omega \ll 1 \text{ rad}$ ), on peut considérer que  $\alpha \approx \tan \alpha$ ,  $\alpha' \approx \tan \alpha'$ ,  $\omega \approx \tan \omega$ ,  $H \approx S$  (plan sphérique  $\approx$  plan tangent)

$$\frac{2\overline{H}\overline{I}}{\overline{C}\overline{H}} = \frac{\overline{H}\overline{I}}{\overline{P}\overline{H}} + \frac{\overline{H}\overline{I}}{\overline{P'}\overline{H}} \iff \frac{2}{\overline{C}S} = \frac{1}{\overline{P}S} + \frac{1}{\overline{P'}S} \iff \boxed{\frac{1}{\overline{SP}} + \frac{1}{\overline{SP'}} = \frac{2}{\overline{SC}}}$$
(21)

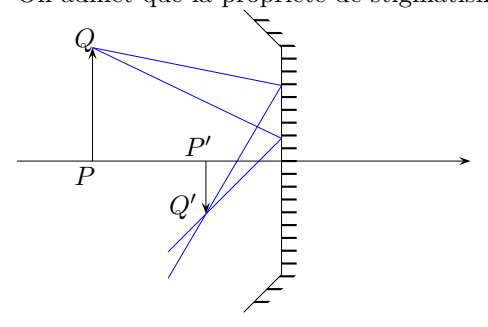
(Formule de conjugaison au sommet du miroir sphérique)

Donc P' est indépendant de  $\alpha$ 

Tous les rayons peu inclinés passent par P' après réflexion sur le miroir sphérique. Donc P' est image de P par le miroir  $\rightarrow$  stigmatisme approché.

## 4) Aplanétisme

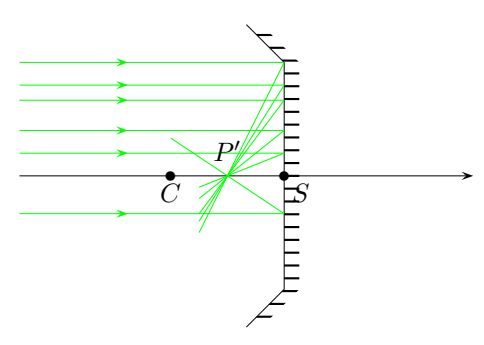
On admet que la propriété de stigmatisme approché reste vraie au voisinage de l'axe optique.



P est la projection de Q sur l'axe optique, P' celle de Q'. P' est aussi l'image de P par le miroir sphérique. Grandissement  $\gamma = \frac{\overline{P'Q'}}{\overline{PQ}}$ 

#### C) Foyers d'un miroir sphérique

Foyer principal On considère un objet à l'infini produisant un faisceau de lumière parallèle et parallèle à l'axe optique.



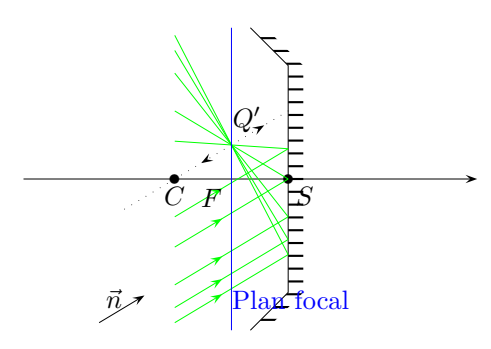
$$\frac{1}{\overline{SP}}+\frac{1}{\overline{SP'}}=\frac{2}{\overline{SC}}$$
 et  $SP=\infty$  donc  $\overline{SP'}=\frac{\overline{SC}}{2}$ 

Foyer F = P' au milieu de [CS]

Distance focale  $\overline{SF} = f \implies f = \frac{\overline{SC}}{2} = \frac{R}{2}$ 

**Plan focal** Plan passant par F perpendiculaire à l'axe optique.

#### Foyers secondaires



Q' appartient au plan focal,  $Q' = F_S$ . Q' est un foyer secondaire (angle faible)  $\vec{n} = \overrightarrow{CF_s}$  lié à la direction des faisceaux.

#### D) Réalité et virtualité des images formées par le miroir sphérique

$$\frac{1}{\overline{SP'}} = \frac{2}{\overline{SC}} - \frac{1}{\overline{SP}} = \frac{1}{\overline{SF}} - \frac{1}{\overline{SP}} = \frac{\overline{SP} - \overline{SF}}{\overline{SF} \cdot \overline{SP}} = \frac{\overline{FP}}{\overline{SF} \cdot \overline{SP}}$$
(22)

## 1) Concave $f = \overline{SF} < 0$

Cas où l'objet P est réel  $(\overline{SP} < 0)$ 

$$\overline{SF} \times \overline{SP} > 0 \tag{23}$$

$$\operatorname{Sgn}\left[\frac{1}{\overline{SP'}}\right] = \operatorname{Sgn}\left[\overline{FP}\right] \tag{24}$$

Donc l'image P' est réelle si et seulement si  $\overline{FP} < 0$  (P avant le foyer)

Cas où l'objet P est virtuel  $(\overline{SP} > 0)$ 

 $\overline{SP'}$  a le signe de  $\overline{PF}$ . Donc l'image est réelle (car  $\overline{PF} < 0$ )

L'image est donc toujours réelle sauf si P est entre F et S.

## 2) Convexe $f = \overline{SF} > 0$

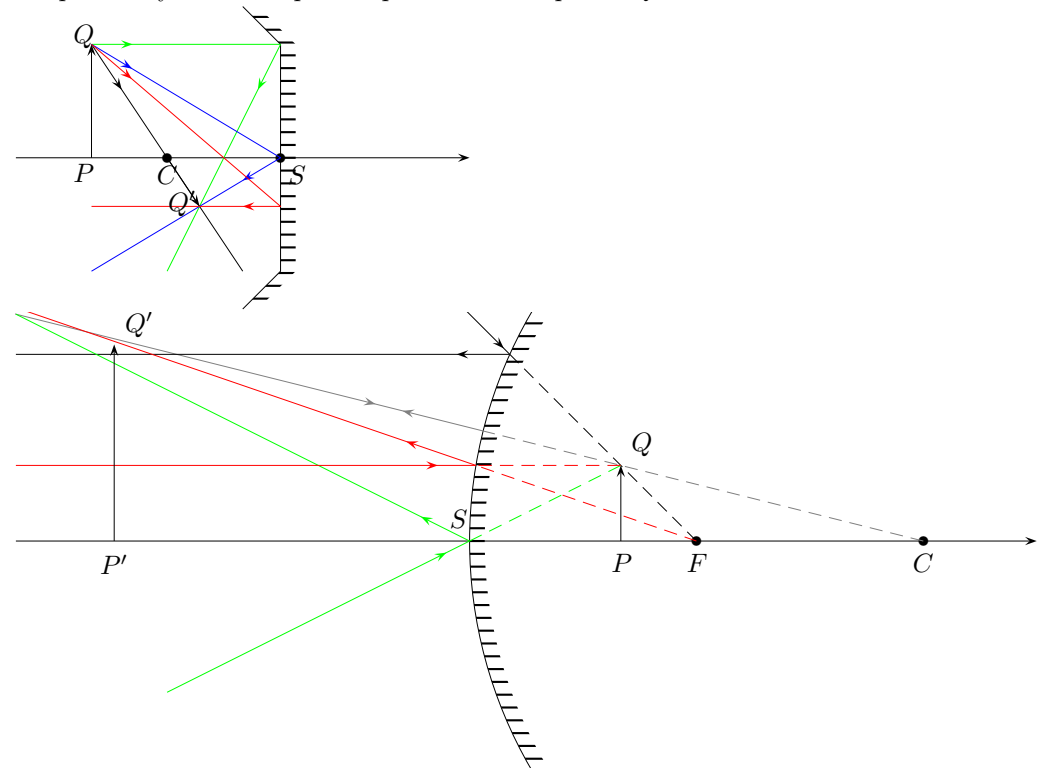
Si P est réel  $(\overline{SP} < 0)$ ,  $\overline{SP'}$  a le signe de  $\overline{PF}$  donc l'image est virtuelle

Si P est virtuel  $(\overline{SP} > 0)$ , l'image est réelle lorsque  $P \in [SF]$  et virtuelle sinon.

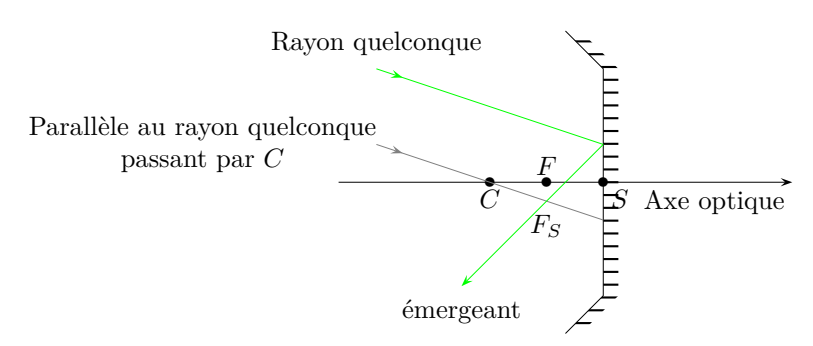
## E) Construction

### 1) Construction d'image

Construction graphique de l'image de P, situé sur l'axe optique. On prend un point Q à la verticale de P: quatre rayons remarquables permettent de placer Q'.



## 2) Construction du rayon émergeant

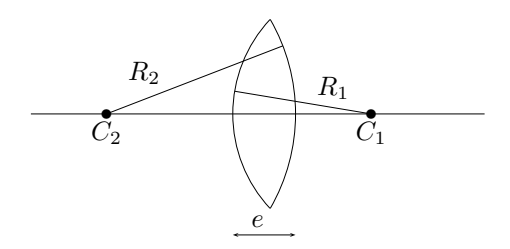


(Il faut trouver le foyer secondaire, le rayon émergeant passe par ce point)

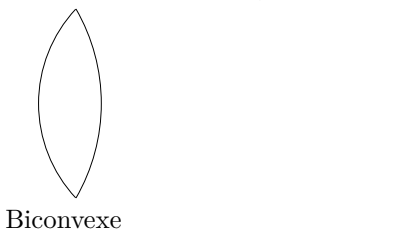
## V Lentilles minces

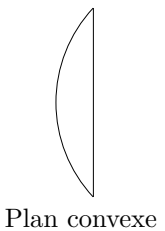
### A) Définition

C'est un bloc de MIHT séparé par deux dioptres dont un au moins est sphérique :



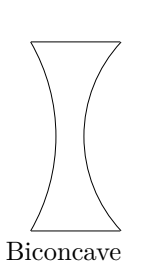
Pour une lentille mince,  $e \ll R_2$  et  $R_1$ 







Lentilles convergentes





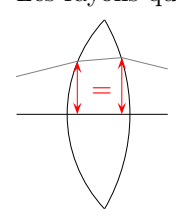


Lentilles divergentes



## Propriétés

• Les rayons qui traversent une lentille mince ne sont pas décalés.



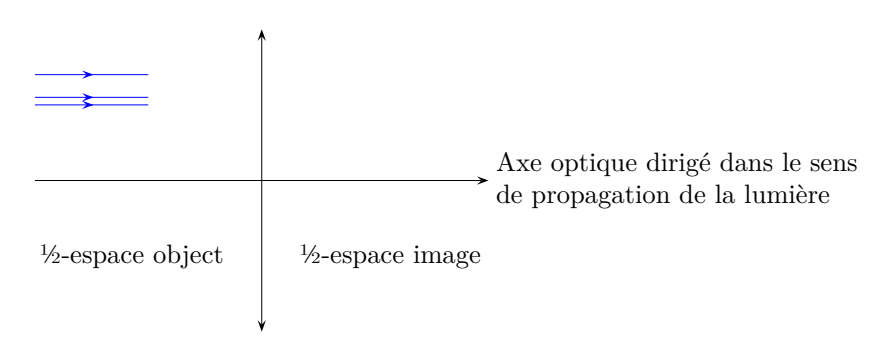
(Le décalage est négligeable)

 $\bullet\,$  Les rayons passant par O, centre de la lentille, ne sont pas déviés.



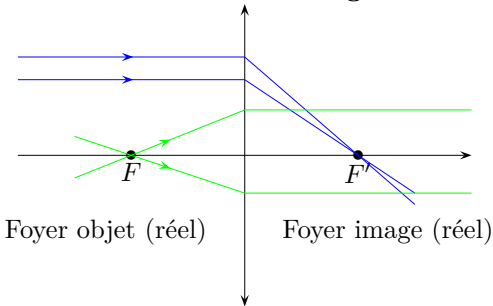
• On admet le stigmatisme approché sur / à proximité de l'axe optique (rayons faiblement inclinés) et l'aplanétisme.

## B) Foyers



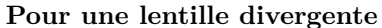
- L'objet est réel si, et seulement si, il appartient au ½-espace objet
- L'objet est virtuel si, et seulement si, il appartient au ½-espace image
- L'image est réelle si, et seulement si, elle appartient au ½-espace image
- L'image est virtuelle si, et seulement si, elle appartient au ½-espace objet

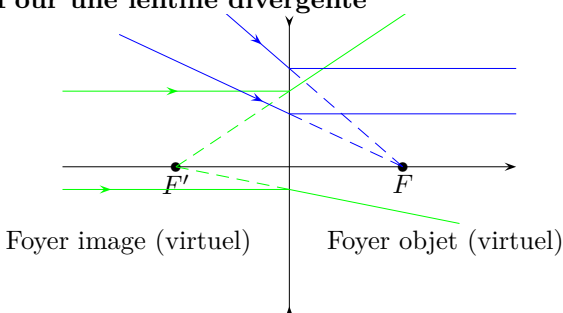
#### Pour une lentille convergente



## Remarque:

O est le milieu de [FF']





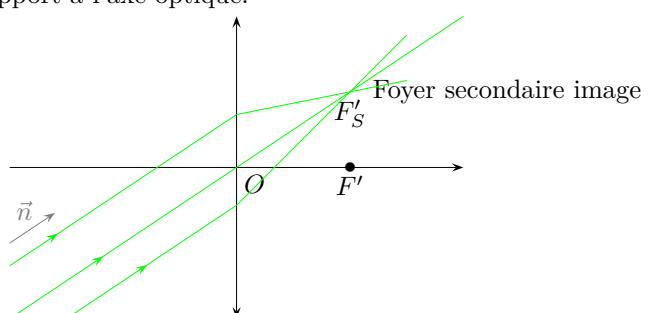
Distance focale (image) :  $f'(\text{ou } f) = \overline{OF'}$ 

Une lentille est convergente si et seulement si f' > 0

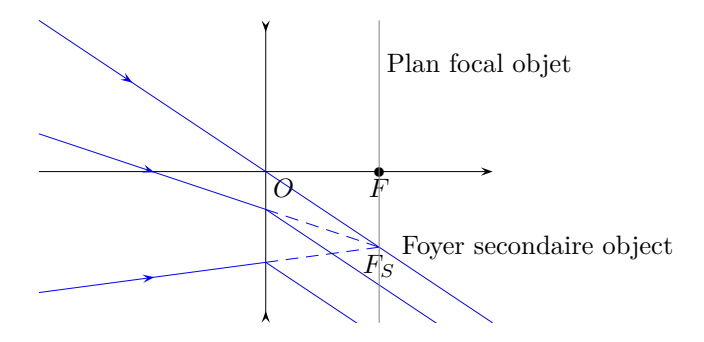
Une lentille est divergente si et seulement si f' < 0

On définit la vergence = 1/f' (en m<sup>-1</sup>)

Foyers secondaires points de convergence, appartenant au plan focal, d'un faisceau de lumière inclinés par rapport à l'axe optique.

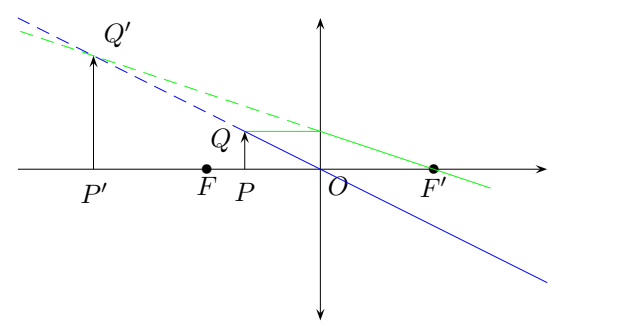


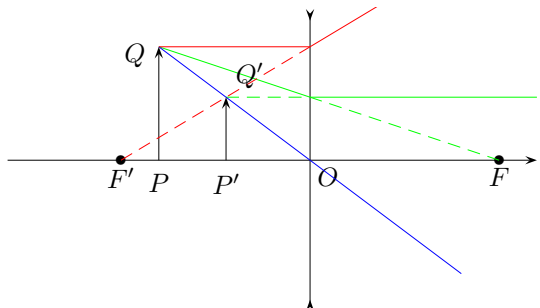
$$\vec{n} \approx \frac{\overrightarrow{OF_S'}}{\overrightarrow{OF_S'}} = \frac{\overrightarrow{OF_S'}}{f'}$$
 (25)



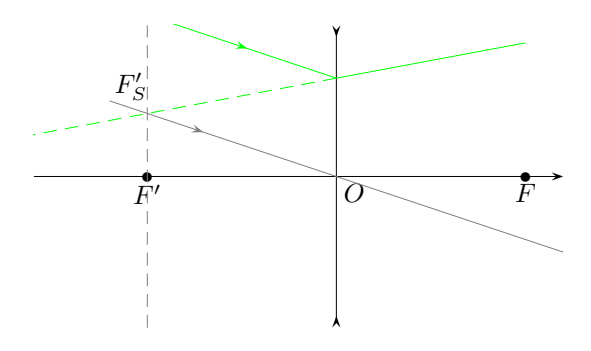
## C) Construction

## 1) Par une lentille mince



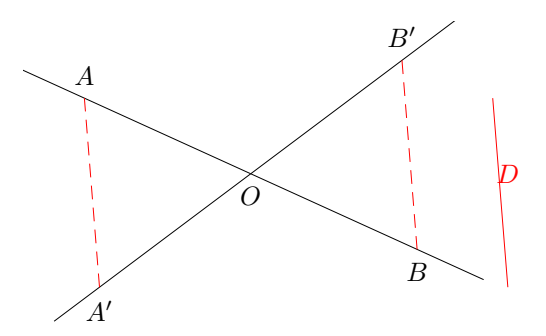


## 2) Du rayon émergeant



### D) Formule de conjugaison

## 1) Triangles semblables

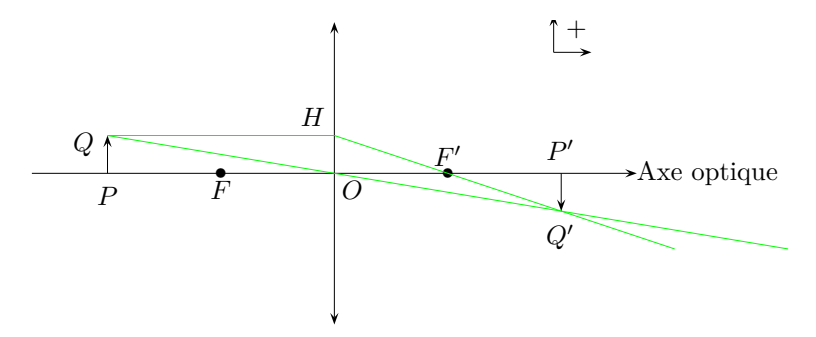


D'après le théorème de Thalès,

$$\frac{\overline{AA'}}{\overline{BB'}} = \frac{\overline{AO}}{\overline{BO}} = \frac{\overline{A'O}}{\overline{B'O}}$$
 (26)

Les triangles OAA' et OBB' sont semblables.

#### 2) Formule de Descartes



On pose  $\gamma = \frac{\overline{P'Q'}}{\overline{PQ}}$  (grandissement)

OPQ et OP'Q' sont semblables.

On a donc :

$$\gamma = \frac{\overline{P'Q'}}{\overline{PQ}} = \frac{\overline{P'O}}{\overline{PO}} \tag{27}$$

F'OH et F'P'Q' sont semblables.

On a donc aussi:

$$\gamma = \frac{\overline{P'Q'}}{\overline{OH}} \tag{28}$$

soit

$$\gamma = \frac{\overline{P'Q'}}{\overline{OH}} = \frac{\overline{P'F'}}{\overline{OF'}} = \frac{\overline{P'O} + \overline{OF'}}{\overline{OF'}} = \frac{\overline{P'O}}{f'} + 1$$
 (29)

D'où

$$\frac{\overline{P'O}}{\overline{PO}} = \frac{\overline{P'O}}{f'} + 1 \iff \frac{1}{\overline{PO}} = \frac{1}{f'} + \frac{1}{\overline{P'O}} \iff \boxed{\frac{1}{\overline{OP'}} - \frac{1}{\overline{OP}} = \frac{1}{f'}}$$
(30)

(P, P') est un couple de points conjugués.

P est l'image de P' pour des rayons se déplaçant en sens inverse.

## VI Systèmes centrés

## A) Définitions

Système centré association de dioptres, lentilles, miroir dont l'axe optique est commun.

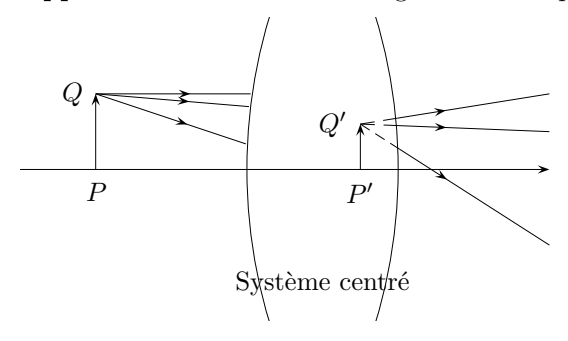
Un système centré est dit dioptrique (à l'inverse de catadioptrique) lorsqu'il ne contient pas de miroir.

## B) Conditions de Gauss

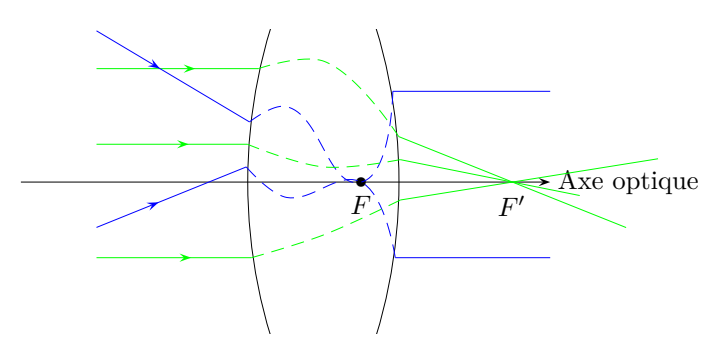
On est dans les conditions de Gauss lorsque :

- l'objet et l'images sont sur / à proximité de l'axe optique
- les rayons sont peu inclinés par rapport à l'axe optique

Approximation de Gauss stigmatisme et aplanétisme approchés



## C) Foyers



F : foyer objet du système centré

F' : foyer image du système centré